

ارتباط پلیمورفیسم ۱۵۶۲ در ژن کلاژن نوع IV با کاهش سن بیماری در بیماران مبتلا به سرطان ریه

دکتر مجید متولی باشی^۱, سمية تووایی^۲, دکتر سیمین همتی^۳

چکیده

مقدمه: کلاژن نوع IV می‌تواند کلاژن نوع IV را که جزء ساختاری اصلی غشای پایه است، تجزیه کند و سبب افزایش قابلیت دسترسی فاکتورهای پروآژیونیک شامل فاکتور رشد اندوتیال رگی و فاکتور رشد تغییردهنده β شود. طبق گزارش‌ها پلیمورفیسم تک نوکلئوتیدی سیتوزین به تیمین در موقعیت ۱۵۶۲ در پروموموتور کلاژن نوع IV بر بیان ژن اثر می‌گذارد. هدف از این مطالعه، جستجوی ارتباط بین پلیمورفیسم C/T-۱۵۶۲ با خطر سرطان ریه در گروههای سنی بود.

روش‌ها: در ۱۲۰ بیمار مبتلا به سرطان ریه و ۱۰۰ فرد مشابه آن‌ها از لحاظ سنی به عنوان شاهد تعیین ژنتیپ پلیمورفیسم C/T-۱۵۶۲ ژن کلاژن IV انجام شد. این کار توسط استخراج DNA ژنومی از نمونه‌های خونی و با استفاده از تکنیک چند شکلی طولی قطعات DNA با آنزیم‌های محدود الاین- واکنش زنجیره‌ای پلیمراز (Restriction fragment length polymorphism-Polymerase chain reaction) یا RFLP-PCR صورت گرفت. افراد مبتلا به سرطان در دو گروه سنی کمتر از ۶۰ سال و مساوی یا بیشتر از ۶۰ سال بررسی شدند. محاسبه‌ی خطر نسبت افزاینده (Odds ratio) با فاصله‌ی اطمینان (Confidence interval) یا (CI) ۹۵ درصد توسط نرم‌افزار SPSS انجام شد.

یافته‌ها: توزیع ژنتیپ C/T-۱۵۶۲ در پروموموتور کلاژن نوع IV به میزان قابل ملاحظه‌ای با خطر سرطان ریه در گروه سنی کمتر از ۶۰ سال مرتبط بود (CI = ۳/۲۱-۱۲۰/۶۰، OR = ۱۹/۸۹).

نتیجه‌گیری: پلیمورفیسم ۱۵۶۲ در ژن کلاژن نوع IV بر افزایش خطر بروز سرطان ریه در افراد کمتر از ۶۰ سال اثر دارد.

وازگان کلیدی: کلاژن نوع IV، واکنش زنجیره‌ای پلیمراز، پروموموتور، پلیمورفیسم، سرطان ریه

کلاژن نوع IV قادر به تنظیم تهاجم و متاستاز از طریق تجزیه‌ی ماتریکس خارج سلولی، غشاهای پایه و تنظیم چسبندگی سلولی می‌باشد. علاوه بر تخریب غشای پایه، این آنزیم از طریق برهم‌کنش‌های پیچیده‌ی سلول-سلول و سلول-ماتریکس بر محیط سلولی اثر می‌گذارد (۶-۷) و منجر به تکثیر، مرگ برنامه‌ریزی شده و ریخت‌زایی می‌شود (۸، ۱).

آنژیم‌های کلاژن‌زایی به طور مستقیم یا از طریق پروتئین‌های اتصالی به عوامل رشد نظیر TGF- β

مقدمه

سرطان‌زایی یک فرایند چند مرحله‌ای است که با آنزیوژن‌زایی در محل تشکیل، جدایی سلول از تومور اولیه، ورود آن به گردش خون، بقای سلول، مهاجرت آن به اندام‌های دور، خروج آن از رگ‌های خونی و رشد آن در محل ثانویه همراه است (۱-۳). سرطان ریه بیماری کشنده با میزان بقای ۵ ساله‌ی ۱۰ درصد می‌باشد. گزارش‌های بی‌شماری نشان می‌دهند عوامل ژنتیکی در بروز سرطان ریه نقش دارند (۴-۵). آنزیم

^۱ استادیار، گروه زیست‌شناسی، دانشکده‌ی علوم، دانشگاه اصفهان، اصفهان، ایران

^۲ دانشجوی کارشناسی ارشد، گروه زیست‌شناسی، دانشکده‌ی علوم، دانشگاه اصفهان، اصفهان، ایران

^۳ استادیار، گروه رادیوتراپی و تومور‌شناسی، دانشکده‌ی پزشکی، دانشگاه علوم پزشکی اصفهان، اصفهان، ایران

نویسنده‌ی مسؤول: دکتر مجید متولی باشی

قابلیت دسترسی IGF و افزایش رشد سلولی می‌شود (۸).

از نظر عملکردی تعداد معادلی از SNP‌ها (Single nucleotide polymorphism) بسته به جایگاه قرار گیری آن‌ها در ژنوم انسان فعال می‌باشند. برای مثال SNP در مناطق تنظیمی بر میزان نسخه‌برداری، در جایگاه‌های پیرایش بر پیرایش mRNA در ۳'UTR بر پایداری mRNA اثر می‌گذارد. همچنین SNP در نواحی کدگذاری باعث جایگزینی اسید آمینه در پروتئین مربوط می‌گردد (۱۹-۲۰). پلی‌مورفیسم C/T در بالادست جایگاه شروع نسخه‌برداری و در موقعیت ۱۵۶۲ ژن کلاژناز نوع IV قرار دارد که باعث از بین رفتن محل اتصال پروتئین‌های سرکوب‌کننده‌ی نسخه‌برداری می‌شود و بیان کلاژناز نوع IV را افزایش می‌دهد (۱۴، ۲۰).

روش‌ها

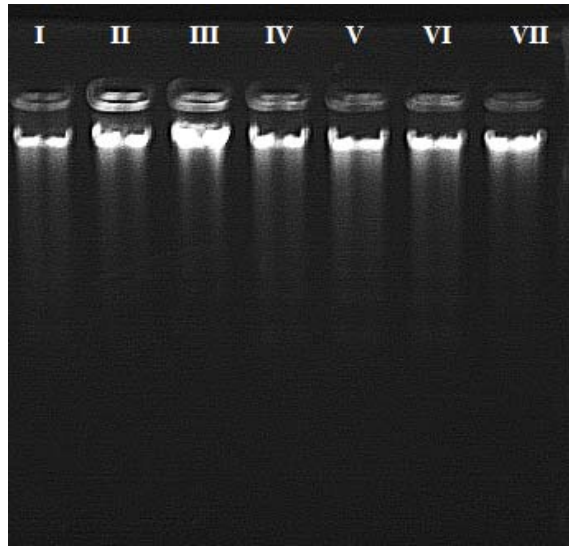
پس از جمع‌آوری اطلاعات کلینیکوپاتولوژیکی از ۱۷۲ فرد مبتلا به سرطان ریه و ۲۰۰ فرد شاهد، نمونه‌ی خون گرفته شد. نمونه‌های خون افراد سرطانی از مرکز پژوهشی درمانی سل و بیماری‌های ریوی مسیح دانشوری تهران و افراد شاهد از سازمان انتقال خون تهیه گردید. ۵ میلی‌لیتر خون وریدی از هر فرد گرفته و درون لوله‌های حاوی EDTA انتقال داده شد و سپس در -۲۰ درجه‌ی سانتی‌گراد نگهداری گردید.

استخراج DNA ژنومی با استفاده از روش Miller (۲۱) با تغییرات مختصر انجام گرفت. شکل ۱ تصویر الکتروفورز DNA استخراج شده ژنومی افراد شاهد و بیمار را نشان می‌دهد.

IGF1، (Transforming growth factor- β) TNF- α ، (Insulin-like growth factor-1) HB-EGF و (Tumor necrosis factor- α) (Heparin-binding EGF-like growth factor) متصل می‌شوند و مانع اتصال عوامل به گیرنده‌های خود می‌گردد (۹-۱۰). همچنین آنزیم‌های تجزیه‌کننده‌ی ماتریکس خارج سلولی شامل کلاژنаз نوع IV در تنظیم فعالیت مولکول‌های فعال زیستی مرتبط با فیزیولوژی سلول درگیر می‌باشند. این مولکول‌ها شامل سیتوکین و کموکین‌ها، عوامل رشد و گیرنده‌های آن‌ها و مولکول‌های چسبندگی سلول می‌باشند (۱۱). هورمون‌های چندگانه، سیتوکین‌ها و فاکتورهای رشد می‌توانند بیان این گونه آنزیم‌ها را القا کنند (۱۲). از طرفی این آنزیم‌ها می‌توانند در مراحل رشد سرطان شرکت کنند و با بیان بالای خود با افزایش خطر سرطان‌زای ارتباط داشته باشند (۱۳).

ژن آنزیم کلاژناز IV در موقعیت 20q12.2-13.1 قرار گرفته است (۱۴) و افزایش بیان آن تحت عنوان کلاژناز ۹۲ کیلودالتونی در بسیاری از سرطان‌های انسانی از جمله سرطان ریه دیده شده است (۱۵). ۲/۲ پرموتور کلاژن نوع IV در یک منطقه‌ی ۵ کیلو بازی مجاور انتهای ۵ ژن قرار گرفته است (۱۶) و دارای جایگاه اتصال عوامل نسخه‌برداری شامل SP1 (Activator protein 1) AP1 (Specificity Protein 1) Signal transducers and activators of STAT Nuclear factor-) NF-kB ، PEA3 (transcription Retinoic acid) RAR/RXR ، (Kappa B TCF/LEF (receptor/Retinoid × receptor (Transcription factors/Lymphoid enhancer factor) می‌باشد (۱۷). کلاژن نوع IV از طریق اثرگذاری بر

پرایمر بالادست ۲۰ پیکومولار، پرایمر پایین دست ۲۰ پیکومولار، Taq پلیمراز ۰/۳ میکرولیتر و dH₂O تا رسیدن به ۲۵ میکرولیتر بود. به علاوه این تکثیر در شرایط دمایی: دنا توراسیون اولیه ۳ دقیقه در ۹۴ درجهٔ سانتی‌گراد و سپس ۳۰ سیکل: ۳۰ ثانیه دنا توراسیون در ۹۴ درجهٔ سانتی‌گراد، ۳۰ ثانیه جفت‌شدگی در ۶۵ درجهٔ سانتی‌گراد، ۱ دقیقه تکثیر در ۷۲ درجهٔ سانتی‌گراد و سپس ۱۰ دقیقه تکثیر نهایی در ۷۲ درجهٔ سانتی‌گراد، انجام گرفت. سپس محصولات روی ژل آگارز ۱ درصد در ولتاژ ۷۰ ولت به مدت ۴۵ دقیقه الکتروفورز شدند (شکل ۲).

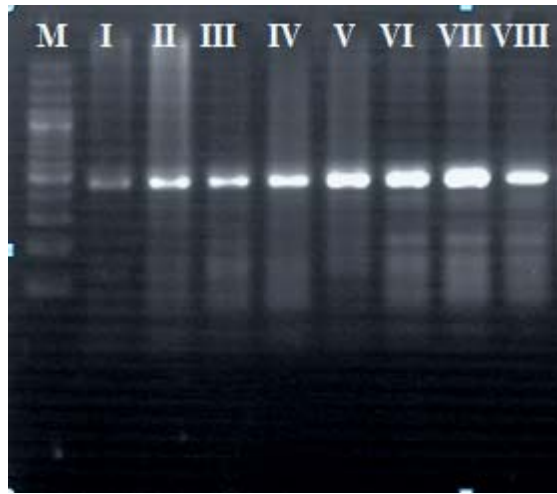


شکل ۱. الکتروفورز DNA ژنومی استخراج شده از افراد بیمار و

شاهد. نمونه‌های I، II و III متعلق به افراد شاهد و نمونه‌های IV

V, VI و VII متعلق به افراد بیمار می‌باشد.

M: شناساگر ۱۰۰ DNA جفت بازی



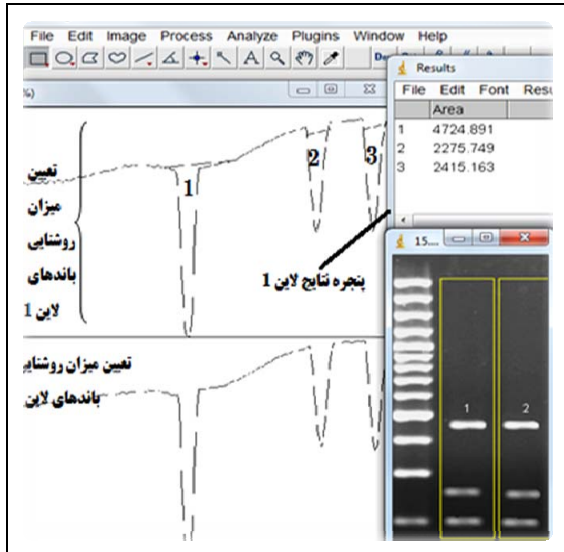
شکل ۲. تصویری از ژل الکتروفورز قطعات DNA تکثیر شدهٔ (PCR) Polymerase chain reaction ژنومی توسط نمونه‌های I-IV از افراد شاهد و نمونه‌های V-VIII از افراد مبتلا به سرطان انتخاب شده‌اند.

پس از آن از روش آنزیم‌های محدودالاثر (Restriction fragment length polymorphism) (RFLP) بر روی محصولات PCR استفاده شد. شناسایی آل‌های مختلف از طریق برش یا عدم برش در توالی تکثیریافته صورت گرفت. در صورت وجود توالی قابل شناسایی توسط آنزیم محدودالاثر، برش در

تکثیر DNA توسط تکنیک واکنش زنجیره‌ای (PCR) Polymerase chain reaction یا میزان ارتباط زیادی به کیفیت و خلوص DNA دارد. میزان جذب نوری آن در طول موج ۲۶۰ نانومتر و نیز غلظت محلول DNA بر حسب نانوگرم در میکرولیتر توسط اسپکتروفوتومتری انجام شد.

برای تکثیر منطقه‌ی حاوی پلی‌مورفیسم با استفاده از تکنیک PCR قطعه‌ای از DNA واجد ناحیه‌ی پلی‌مورفیسم مورد نظر با به روش PCR و با استفاده از پرایمر بالادست، ۵'-ATATAAAATGCCTGGCACATAGTA-3' پایین دست، ۳'-CTCCCTCACTCCTTCTTC-5' تکثیر داده شد. پس از بهینه‌سازی‌های متعدد تکثیر بهینه انجام شد. شرایط واکنشی این تکثیر شامل ۱۵۰ نانوگرم نمونه‌ی DNA ژنومی، ۲/۵ میکرولیتر بافر PCR ۱۰ X، ۰/۷۵ میکرولیتر کلرید منیزیم ۵۰ میلی‌مولار، ۰/۵ میکرولیتر dNTP ۱۰ میلی‌مولار،

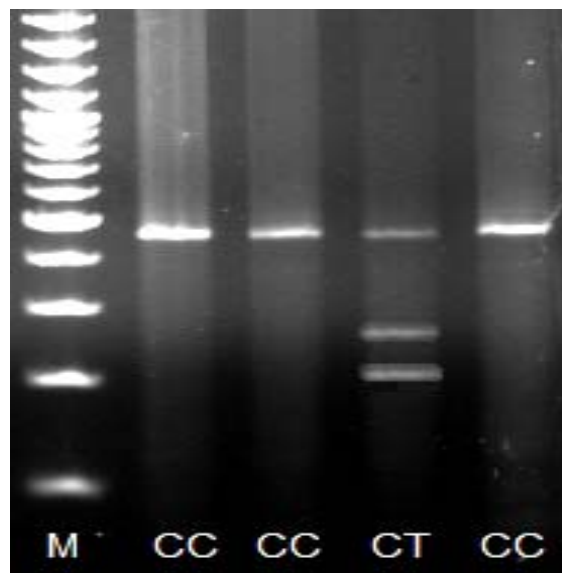
میزان روشنایی را ترسیم نمود و سطح زیر نمودار را به صورت کمی نشان داد (شکل ۴).



شکل ۴. نتایج حاصل از نرم‌افزار ImageJ یک فرد با ژنوتیپ هتروزیگوت TC بعد از هضم آنزیمی. سطح زیر نمودار به صورت کمی نیز نشان داده شده است.

سپس با استفاده از ژنوتیپ‌های به دست آمده از RFLP، فراوانی ژنوتیپی در گروه‌های مورد مطالعه محاسبه گردید. به منظور بررسی اختلاف فراوانی توزیع ژنوتیپی موجود در گروه‌های مجزای مورد مطالعه، از آزمون χ^2 استفاده شد. مقایسه‌ی میانگین سنی در گروه‌های مورد مطالعه نیز با استفاده از آزمون Student-t انجام گرفت. در مرحله‌ی بعد اختلاف در توزیع ژنوتیپ کلائزناز نوع IV در گروه‌های مطالعه شده با استفاده از آزمون χ^2 بررسی شد. نسبت افزاینده (OR) با فاصله‌ی اطمینان ۹۵ درصد به عنوان شاخص ارتباط پلی‌مورفیسم ژنوتیپ کلائزناز نوع IV با خطر بروز سرطان ریه در گروه‌های مورد مطالعه محاسبه گردید. در تمامی محاسبات سطح احتمال < 0.05 از نظر آماری معنی‌دار در نظر گرفته شد.

داخل قطعه‌ی تکثیریافته‌ی DNA رخ داد و باند اولیه به دو باند کوچک‌تر شکسته شد. آنزیم Sph1 قادر است آلل T را در یک ناحیه قطع کند و دو قطعه به طول‌های ۲۵۸ و ۲۰۲ جفت بازی تولید کند که توسط ژل ۲ درصد از هم‌دیگر قابل تفکیک هستند. اما آلل C توسط آنزیم Sph1 برش نمی‌خورد و بعد از الکتروفورز یک قطعه‌ی کامل ۴۶۰ جفت بازی تولید می‌کند، در حالت هتروزیگوت هر سه باند قابل مشاهده خواهد بود. هضم آنزیمی توسط ۲/۵ واحد آنزیم Sph1 و ۱ میکرولیتر بافر آنزیم و انکوباسیون به مدت ۱۶ ساعت انجام گرفت. سپس الکتروفورز بر روی ژل آگارز ۲ درصد در ولتاژ ۶۰ ولت به مدت ۷۵ دقیقه انجام شد (شکل ۳).



شکل ۳. تصویر ژل الکتروفورز افراد CC و CT. همان‌طور که مشاهده می‌شود، در نمونه‌ی مربوط به افراد CT سه باند به ترتیب از پایین: ۲۰۲، ۲۵۸ و ۴۶۰ جفت بازی ایجاد می‌شود.

سپس برای تأیید هضم آنزیمی تصاویر ژل الکتروفورز با نرم‌افزار ImageJ بررسی شدند. این نرم‌افزار در ارتباط با باند یا باندهای هر خط نمودار

سالم افزایش نشان دهد، وجود تعادل Hardy-Weinberg نیز به اثبات رسید؛ اعداد و ارقام در جدول ۱ نشان داده شده است.

به طور کلی افراد مبتلا به سرطان از میانگین سنی بالاتری (55 ± 20 سال) نسبت به افراد سالم (55 ± 15 سال) برخوردار بودند، ولی محاسبات آماری نشان داد که این تفاوت از لحاظ آماری معنی‌دار نبود. در مرحله‌ی بعد افراد بیمار به دو گروه کمتر از ۶۰ سال و بالای ۶۰ سال تقسیم شدند و توزیع ژنتیک کلاژناز نوع IV در دو گروه مورد بررسی قرار گرفت. مطالعات آماری نشان داد که احتمال ابتلا به سرطان در افراد کمتر از ۶۰ سال نسبت به افراد بیشتر از ۶۰ سال با ژنتیک OR = $4/6$, CI : $2/13-9/95$ و با ژنتیک TT OR = $19/89$, CI : $3/21-120/60$ بود (جدول ۲).

یافته‌ها

DNA ژنومی نمونه‌های بیماران و افراد شاهد استخراج شد و نمونه‌هایی که واجد سرطان با سابقه‌ی فامیلی بودند از روند مطالعه حذف شدند. نمونه‌هایی که جذب نوری $1/8-2$ نانومتر داشتند جهت مطالعات بعدی در 20° -درجه‌ی سانتی‌گراد نگهداری شدند و استخراج سایر نمونه‌ها تکرار شد. تکنیک RFLP-PCR بر روی کلیه‌ی نمونه‌ها انجام شد و ژنوتیپ آن‌ها مورد شناسایی قرار گرفت. این تکنیک به طور تصادفی در برخی از نمونه‌ها سه مرتبه تکرار گردید. به طور کلی برای بررسی ژنوتیپ ۱۲۰ بیمار مبتلا به سرطان و ۱۰۰ فرد شاهد بررسی شدند. با توجه به این که بر اساس مطالعات قبلی انتظار می‌رفت که بیان ژن در افراد سرطانی نسبت به افراد

جدول ۱. فراوانی (درصد) آللی و ژنوتیپی در افراد بیمار و شاهد

آللوتیپ	افراد مبتلا به سرطان	افراد شاهد	مقدار P
C	۸۶ (۳۵/۸۴)	۱۰۶ (۵۳)	< ۰/۰۰۱
T	۱۵۴ (۶۴/۱۶)	۹۴ (۴۷)	
ژنوتیپ			
CC	۱۸ (۱۵)	۲۹ (۲۹)	
CT	۵۰ (۴۱/۶۷)	۴۸ (۴۸)	
TT	۵۲ (۴۳/۳۳)	۲۳ (۲۳)	

مقدار P از آزمون χ^2 محاسبه شد

جدول ۲. ارتباط ژنوتیپ‌های کلاژناز نوع IV و سن شروع بیماری

OR (فاصله‌ی اطمینان ۹۵ درصد)	مبتلایان به سرطان				
	TT ^b	CT + TT ^a	TT	CT + TT	CC
۱۹/۸۹ (۳/۲۱-۱۲۰/۶۰)	۴/۶۰ (۲/۱۳-۹/۹۵)		۳۵	۵۵	۱
۰/۲۰ (۰/۱۰-۰/۴۶)	۰/۰۵ (۰/۰۰۸-۰/۳۱)		۱۷	۴۷	۱۷

^a: خطر محاسبه شده برای ژنوتیپ‌های CT + TT در برابر ژنوتیپ CC^b: خطر محاسبه شده برای ژنوتیپ TT در برابر ژنوتیپ‌های CT + CC

بحث

می توانند در مرحله‌ی خاصی باعث بروز سرطان شوند. ارتباط آماری آلل T با شکل‌گیری سرطان ریه در مطالعه‌ی حاضر می‌تواند گویای ارتباط ژنتیکی شکل‌گیری سرطان ریه در افراد زیر ۶۰ سال باشد. آلل T به دلیل از بین بردن جعبه‌ی سرکوب‌کننده‌ی بیان ژن باعث افزایش بیان ژن می‌گردد (۲۰، ۲۴).

از طرفی مطالعات نشان داده است که افراد جوان نسبت به افراد مسن دچار تغییرات دائمی بیشتر می‌شوند و نیاز آن‌ها به بیان آنزیم‌های کلاژنаз بیشتر می‌باشد (۲۷). با توجه با دانش کنونی، مطالعه‌ی حاضر اولین گزارش از ارتباط پلیمورفیسم در منطقه‌ی تنظیمی ژن کلاژنаз نوع IV با کاهش سن سرطان ریه در جمعیت ایران بود. در مطالعه‌ای که توسط صادقی و همکاران در اصفهان انجام گرفت این پلیمورفیسم با کاهش سن بدخیمی سرطان پستان ارتباط نشان داد (۲۸). نتیجه‌گیری قطعی نیاز به مطالعات گستردگر در آینده و تکرار آزمایش‌ها در جمعیت‌های دیگر دارد.

نتیجه‌گیری

با توجه به نتایج مطالعه‌ی حاضر می‌توان گفت که آلل T در همکاری با سایر ژن‌های دخیل در شروع سرطان ریه، شرایط را برای شکل‌گیری سلول‌های سرطانی در جمعیت مورد مطالعه فراهم می‌سازد و بدین ترتیب سن شروع سرطان ریه را در افراد واجد این ژنوتیپ تا حدودی کاهش می‌دهد.

تشکر و قدردانی

از معاونت‌های پژوهشی و تحصیلات تکمیلی دانشگاه اصفهان به دلیل کمک‌های مالی و تجهیزات و

سرطان می‌تواند در اثر تجمع جهش‌ها بروز کند. به دلیل نیاز به زمان جهت تجمع جهش‌ها، اغلب سرطان در سنین بالا دیده می‌شود (۲۲). از طرفی برخی از آسیب‌ها به ژنوم مثل تأثیر رادیکال‌های آزاد، اکسیدان‌های تولید شده در روند فعالیت‌های متابولیسمی و تشعشعات یونیزه کننده می‌توانند ماهیت تجمعی داشته باشند و بنابراین با افزایش سن و تجمع باعث بروز جهش و سرطان شوند (۲۳). در این تحقیق میانگین سنی افراد مبتلا به سرطان بیشتر از افراد سالم بود، اما محاسبات آماری نشان داد که این تفاوت معنی‌دار نبود. افراد کمتر از ۶۰ سال با ژنوتیپ TT نزدیک به ۲۰ برابر احتمال ابتلا به سرطان ریه را داشتند. ۷۶ درصد از سرطان‌ها در سن ۵۵ سالگی و یا بیشتر ظاهر می‌شوند؛ بنابراین سرطان یک بیماری پیری به شمار می‌آید (۲۴-۲۵). بروز انواع سرطان‌ها در سنین بالا به دو دلیل عمده رخ می‌دهد: ۱- تجمع جهش‌های نقطه‌ای، حذف، نفوذ، وارونگی و دو برابر شدن توالی ژن و ۲- کاهش کارایی و ظرفیت سیستم‌های ترمیمی DNA (۲۶).

از طرفی در سنین ۷۰ و بالای ۷۰ سال اغلب مطالعه بر روی سرطان‌ها به علت افزایش احتمال مرگ و میر مبتلایان، مقدور نیست. بنابراین در این مطالعه بیماران به دو گروه کمتر از ۶۰ سال و بیشتر از ۶۰ سال تقسیم شدند.

نتایج این تحقیق می‌تواند گویای این مسئله باشد که ایجاد سرطان ریه در افراد جوان‌تر به دلیل تجمع عوامل سرطان‌زا محيطی از جمله سیگار است. عوامل ژنتیکی از دلایل مهم دیگر ایجاد سرطان است که با همکاری سایر عوامل محيطی و غیر محيطی

سازمان انتقال خون اصفهان و بیمارستان سیدالشهدا (ع)
برای جمع‌آوری نمونه‌ها صمیمانه تشکر می‌شود.

دانشکده‌ی پزشکی دانشگاه علوم پزشکی اصفهان به
دلیل فراهم کردن اطلاعات پزشکی و از همکاری‌های

References

1. Rundhaug JE. Matrix metalloproteinases, angiogenesis, and cancer: commentary re: A. C. Lockhart et al., Reduction of wound angiogenesis in patients treated with BMS-275291, a broad spectrum matrix metalloproteinase inhibitor. *Clin. Cancer Res.*, 9: 00-00, 2003. *Clin Cancer Res* 2003; 9(2): 551-4.
2. Chambers AF, Matrisian LM. Changing views of the role of matrix metalloproteinases in metastasis. *J Natl Cancer Inst* 1997; 89(17): 1260-70.
3. Deryugina EI, Quigley JP. Matrix metalloproteinases and tumor metastasis. *Cancer Metastasis Rev* 2006; 25(1): 9-34.
4. Forgacs E, Zochbauer-Muller S, Olah E, Minna JD. Molecular genetic abnormalities in the pathogenesis of human lung cancer. *Pathol Oncol Res* 2001; 7(1): 6-13.
5. Risch A, Plass C. Lung cancer epigenetics and genetics. *Int J Cancer* 2008; 123(1): 1-7.
6. Heist RS, Marshall AL, Liu G, Zhou W, Su L, Neuberg D, et al. Matrix metalloproteinase polymorphisms and survival in stage I non-small cell lung cancer. *Clin Cancer Res* 2006; 12(18): 5448-53.
7. McGowan SE. Extracellular matrix and the regulation of lung development and repair. *FASEB J* 1992; 6(11): 2895-904.
8. Vu TH, Werb Z. Matrix metalloproteinases: effectors of development and normal physiology. *Genes Dev* 2000; 14(17): 2123-33.
9. Schultz GS, Wysocki A. Interactions between extracellular matrix and growth factors in wound healing. *Wound Repair Regen* 2009; 17(2): 153-62.
10. Somerville RP, Oblander SA, Apte SS. Matrix metalloproteinases: old dogs with new tricks. *Genome Biol* 2003; 4(6): 216.
11. Chaussain-Miller C, Fioretti F, Goldberg M, Menashi S. The role of matrix metalloproteinases (MMPs) in human caries. *J Dent Res* 2006; 85(1): 22-32.
12. Fanjul-Fernandez M, Folgueras AR, Cabrera S, Lopez-Otin C. Matrix metalloproteinases: evolution, gene regulation and functional analysis in mouse models. *Biochim Biophys Acta* 2010; 1803(1): 3-19.
13. Zhu Y, Spitz MR, Lei L, Mills GB, Wu X. A single nucleotide polymorphism in the matrix metalloproteinase-1 promoter enhances lung cancer susceptibility. *Cancer Res* 2001; 61(21): 7825-9.
14. Wang Y, Fang S, Wei L, Wang R, Jin X, Wen D, et al. No association between the C-1562T polymorphism in the promoter of matrix metalloproteinase-9 gene and non-small cell lung carcinoma. *Lung Cancer* 2005; 49(2): 155-61.
15. Hu Z, Huo X, Lu D, Qian J, Zhou J, Chen Y, et al. Functional polymorphisms of matrix metalloproteinase-9 are associated with risk of occurrence and metastasis of lung cancer. *Clin Cancer Res* 2005; 11(15): 5433-9.
16. Atkinson JJ, Senior RM. Matrix metalloproteinase-9 in lung remodeling. *Am J Respir Cell Mol Biol* 2003; 28(1): 12-24.
17. Woessner JF, Nagase H. Matrix Metalloproteinases and TIMPs. 2nd ed. Oxford, UK: Oxford University Press; 2000.
18. Ii M, Yamamoto H, Adachi Y, Maruyama Y, Shinomura Y. Role of matrix metalloproteinase-7 (matrilysin) in human cancer invasion, apoptosis, growth, and angiogenesis. *Exp Biol Med (Maywood)* 2006; 231(1): 20-7.
19. Decock J, Paridaens R, Ye S. Genetic polymorphisms of matrix metalloproteinases in lung, breast and colorectal cancer. *Clin Genet* 2008; 73(3): 197-211.
20. Zhang B, Henney A, Eriksson P, Hamsten A, Watkins H, Ye S. Genetic variation at the matrix metalloproteinase-9 locus on chromosome 20q12.2-13.1. *Hum Genet* 1999; 105(5): 418-23.
21. Miller SA, Dykes DD, Polesky HF. A simple salting out procedure for extracting DNA from human nucleated cells. *Nucleic Acids Res* 1988; 16(3): 1215.
22. Benbow U, Schoenermark MP, Mitchell TI, Rutter JL, Shimokawa K, Nagase H, et al. A novel host/tumor cell interaction activates matrix metalloproteinase 1 and mediates invasion through type I collagen. *J Biol Chem* 1999; 274(36): 25371-8.
23. Miller MC, III, Mohrenweiser HW, Bell DA. Genetic variability in susceptibility and response to toxicants. *Toxicol Lett* 2001; 120(1-3): 269-80.
24. Young RP, Hopkins RJ, Hay BA, Epton MJ, Mills GD, Black PN, et al. Lung cancer susceptibility model based on age, family history and genetic variants. *PLoS One* 2009; 4(4): e5302.
25. Radzikowska E, Glaz P, Roszkowski K. Lung cancer in women: age, smoking, histology, performance status, stage, initial treatment and survival. Population-based study of 20 561 cases.

- Ann Oncol 2002; 13(7): 1087-93.
26. Bain C, Feskanich D, Speizer FE, Thun M, Hertzmark E, Rosner BA, et al. Lung cancer rates in men and women with comparable histories of smoking. J Natl Cancer Inst 2004; 96(11): 826-34.
27. Massion PP, Carbone DP. The molecular basis of lung cancer: molecular abnormalities and therapeutic implications. Respir Res 2003; 4: 12.
28. Sadeghi M, Motevali-Bashi M, Hojati Z. Association of a polymorphism in 1562 promoter nucleotide of collagenases IV with the age and type of metastasis in breast cancer. J Babol Univ Med Sci 2009; 10(6): 7-13.

The Association between the C(-1562)T Polymorphism of Type IV Collagenase Gene and Reduced Age of Onset of Lung Cancer

Majid Motovali-Bashi PhD¹, Somayeh Taghvaei², Simin Hemmati MD³

Abstract

Background: Type IV collagenase gene is capable of degrading type IV collagen which is the major structural component of basement membrane. It also increased the bioavailability of pro-angiogenic factors including vascular endothelial growth factor and transforming growth factor- β . A cytosine (C) thymine (T) single nucleotide polymorphism (SNP) at position 1562 of the type IV collagenase promoter has been reported to affect gene expression. The purpose of this study was to investigate the association between the C(-1562)T polymorphism and risk of lung cancer in different age groups in Iran population.

Methods: Genotyping of C(-1562)T polymorphism in type IV collagenase gene was performed by taking out genomic DNA from blood samples of 120 patients with lung cancer and 100 age-matched controls by restriction fragment length polymorphism-polymerase chain reaction (RFLP-PCR). Chi-square test was used to calculate adjusted odds ratio (OR) and 95% confidence interval (95% CI). All analyses were performed in SPSS.

Findings: Distribution of C(-1562)T genotype in type IV collagenase promoter was significantly associated with the risk of lung cancer in the age group of < 60 years (OR = 19.89; 95% CI = 3.21-120.60).

Conclusion: Our results indicated that C(-1562)T polymorphism in type IV collagenase gene affects the risk of lung cancer in different age groups, i.e. aging less than 60 years was significantly related with initiation of lung cancer.

Keywords: Type IV collagenase gene, Restriction fragment length polymorphism-polymerase chain reaction, Promoter polymorphism, Lung cancer

¹ Assistant Professor, Department of Biology, School of Sciences, University of Isfahan, Isfahan, Iran

² MSc Student, Department of Biology, School of Sciences, University of Isfahan, Isfahan, Iran

³ Assistant Professor, Department of Radiotherapy and Oncology, School of Medicine, Isfahan University of Medical Sciences, Isfahan, Iran

Corresponding Author: Majid Motovalibashi PhD, Email: mbashi@sci.ui.ac.ir